

法政大学工学部 正 山下 清明  
 法政大学工学部 正 大地 羊三

1. まえがき

中径向を渡る橋梁の構造型式の一つとして連続トラスがあげられるが、その下部構造、地盤条件や路線線形の制約などより、平面形状が支束部で折り曲げられた折れ線トラス構造となる場合がある (fig-1)。

このような構造では中員方向に対称な荷重によってもねじれやずれ変形を招くので、トラス構造の立体的な挙動を考慮した解析による検討が必要となるであろう。ここでは、上路部に道路、下路部に鉄道が載荷されるダブルデッキ併用橋として概略設計された三径向連続折れ線トラス橋について変形法により計算をおこない、単純な荷重条件のもとでの折れ角および支持条件の違いによる橋の挙動の変化について報告する。

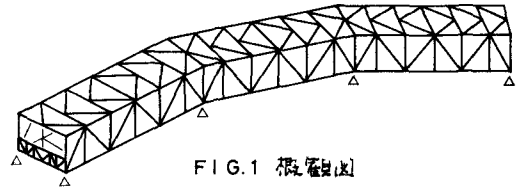


FIG.1 概観図

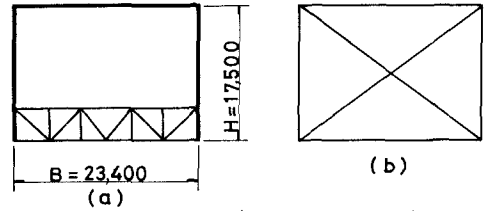


FIG.2 横フレーム(対稱橋)

2. 計算モデル

3 x 80 cm の直線連続トラス併用橋(主構間隔 23.4 m, 主構高さ 17.5 m) として概略設計された構造を対象とした。計画された折れ角は鉄道の線形条件で定められた  $3^{\circ}31'33.2''$  であるが、折れ角が増加した時の変化をみるため  $20^{\circ}$  までの変化をさせてみた。この場合、橋横断面を構成する横フレームは直線橋として設計されたものを使用した (fig-2(a))。このサイズの支持条件は fig-3 の SUP.1 である。

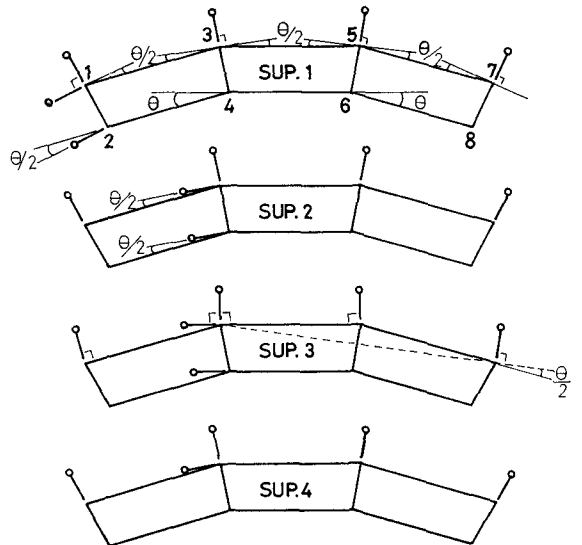


FIG.3 支持条件(下構断面)

つぎに支持条件の違いによる変化をみるために fig-3 に示す 4 つの支持方式について比較してみる。

SUP.1, 2 は下構橋の橋軸方向のそり変位拘束位置の違い、SUP.3 はロー支束の移動方向をヒンジ支束から放射方向に設定した場合、SUP.4 は SUP.2 の下横断面のそり変位拘束を解放したものである。このサイズの計算においては、橋横断面の横フレームを、断面のずれ変形に対して等価剛性となるように 2 本の対稱柱で置換してある (fig-2(b))。

以上の計算モデルに対する荷重として fig-4 に示す 4 つの種類を考えた。各荷重は弦材に沿って、各節点に 1 ton の節点荷重を完全にわたして作用させる。4 つの種類はそれぞれ橋軸方向に分布した鉛直曲片 (VB)、ねじれ (VT)、水平曲片 (HB)、ねじれ可能 (HT) 荷重となる。

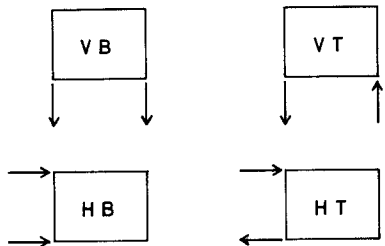


FIG. 4 荷重

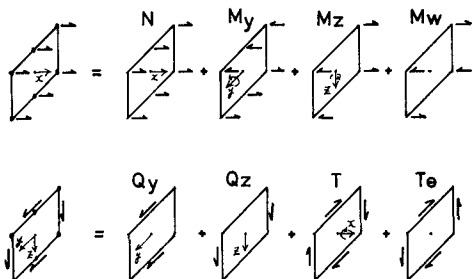


FIG. 5 相等断面力

### 3. 解析方法

空間に構成されたトラス骨組構造の立体的な挙動を考慮し、その全体的な特性を把握するためには、トラス骨組をせん断場に置換して薄肉梁理論を適用するなどの方法があるが、折れ角を有する構造や、支持条件が複雑な場合には、その扱い方が単純ではなくなるので、ここでは変形法(直接剛性マトリックス法)によることにした。

この方法によれば「骨組毎の部材の変位等も直接考慮」される。反面、構造が巨大になると電子計算機の容量や処理速度が制約条件となってくるが、トラス橋のような細長い場合には、それに即した処理手法が選択できるのでそれほど問題にはならなかった。

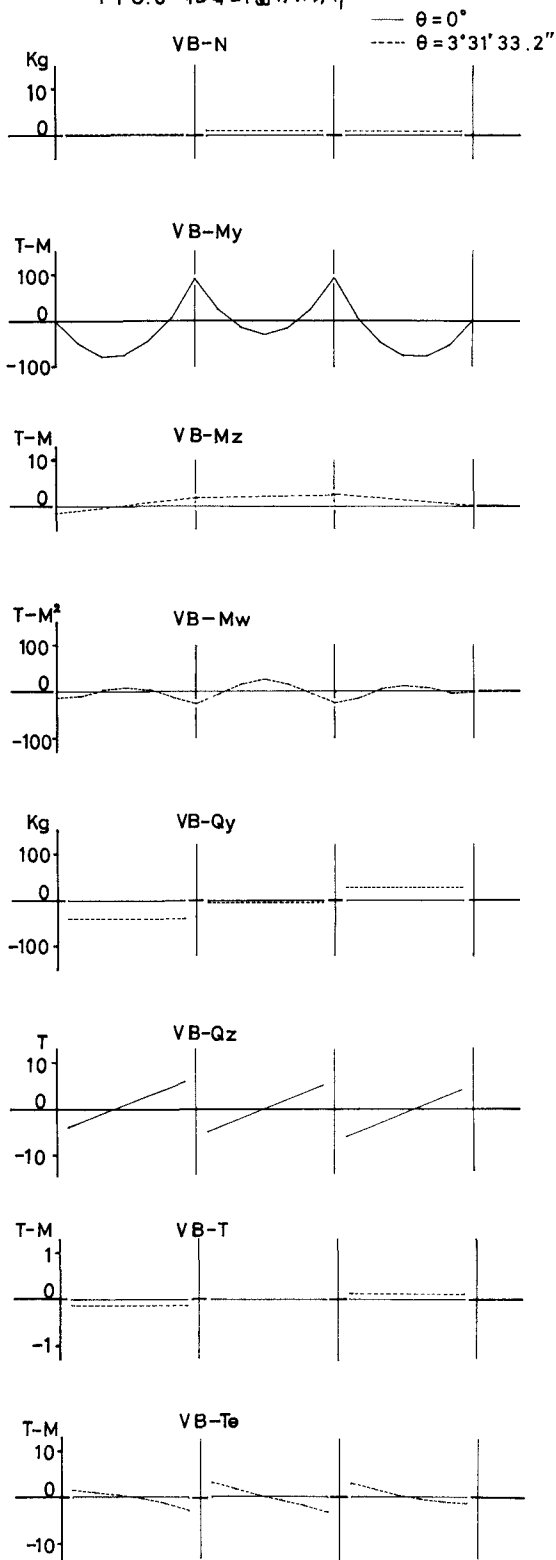
折れ線構造に対する座標系の設定方法は種々考えられるが、ここでは、直線区間はそれぞれ固有の座標系を構成し、支点を全断面内でのその断面固有の座標系に接近するようとした。このようにすると入力データの作製や計算結果の整理が容易となる。

### 4. 解析結果

計算結果として得られる部材力は、橋の全体的特性を理解しやすくするため、次に示す仮定のもとに薄肉梁理論より導かれる断面力と相等する値に変換する。

- (1) 橋断面は部材断面も含めて2軸対称断面とする。
- (2)  $M_y, M_z$ は断面中心に原点をとしたY軸, Z軸

FIG. 6 相等断面力の分布



まわりの合モーメント,  
 $N$ は橋軸方向合力の総和,  
 $M_w$ による力は弦  
 状位置に絶対値等しく  
 $M_w/H$ の力を生ずる。

(3)  $Q_y, Q_z$ はそれぞれY  
 軸, Z軸方向合力の総  
 和,  $T$ (及びモーメント),  
 $T_0$ (すれモーメント)は主構  
 面で $\pm T/2b, \pm T_0/2b$ , 横  
 構面で $\pm T/2H, \pm T_0/2H$ の  
 せん断力を生ずる。

(Fig.-5参照)

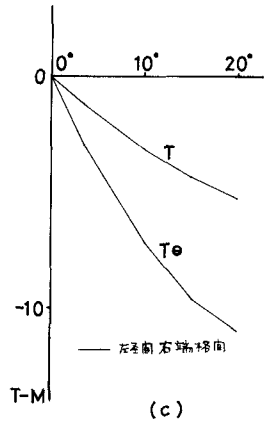
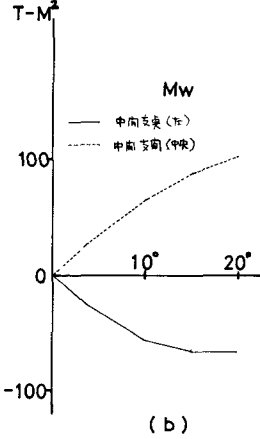
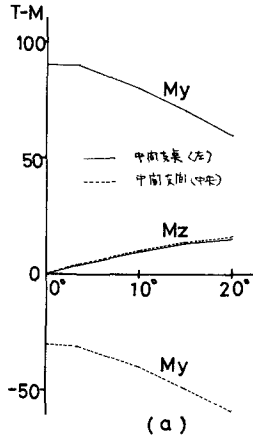


FIG. 7 折れ角と相等断面力の関係

$= 10^{-6} \text{rad.}$

変位は橋横断面の変形性状を知るため, 計算結果よりずれ  
 角を算出して示すことにする。

A. 折れ角の影響

$\theta = 0^\circ$ と $3^\circ 31' 33.2''$ の時の相等断面力の橋軸方向分布を,  
 鉛直桁荷重VBの場合についてFig.-6に示す。

$N, Q_y, Q_z, T, T_0$ は橋脚で一一定値となるが, 与えられた橋脚中  
 央にカットし, その考案をあらためるため線図を引く。

直橋の場合には $M_y, Q_z$ のみが生ずるが, 折れ角がある場  
 合には, 破線ですすように各種の相等断面力が生じてくる。

$M_z, M_w$ が左端支桌上0となるのは下横構のより変位  
 拘束によるものである。 $M_w$ は中周支桌上および支脚中央付  
 近で大きく右に正負に交差する分布となる。 $T_0$ は中周支脚  
 付近で最大値をとる。

鉛直桁荷重のときの主要な相等断面力である $M_y$ の分布は連続梁と同じであるが,  
 折れ角がある場合, わずかではあるがグラフ全体が下側に移動する。これは橋が支桌上で折れ曲がると, 中周支  
 桌上での水平軸(Y軸)まわりの回転変形に対する抵抗が減少するためと考えられる。この結果中周支  
 桌上でのモーメントが減少し, 支脚中央付近のモーメントが増加し, 各支脚が単純支持された状態に近づく傾向を示す。

$M_y$ に対応するせん断力 $Q_z$ の分布性状には大なる変化はみられなかった。図には表示したが, 上弦  
 状の軸力を直橋における値と比較してみると中周支桌をはく橋脚間の折れ線外側部材で約6%減少し, 内側部材  
 で約3%増加する。また隣接橋脚間の折れ線外側部材で約7%の増加が目立った。

折れ角が増大した時の相等断面力の変化をFig.-7に示す。折れ角の増大に伴って $M_y$ は中周支桌上で減少し,  
 支脚部で増大する(a)。 $M_y$ の変化は $\theta$ の増加に従って急激になるが,  $M_w$ の増加率は多少低下する。 $T, T_0$ に  
 ついても同様の傾向がみとめられた。

各荷重ケースに対応するずれ角の橋軸方向分布を, 直橋の場合と $\theta = 3^\circ 31' 33.2''$ の場合についてFig.-8に示す。  
 VTについては差異がみとめられないが, 折れ角がある場合のVBによるずれ角はVTの時の値の50%程度に  
 達する。HB, HTによるずれ角は折れ線に与るときの値が減少する。

B. 支持条件の違いによる影響

$\theta = 3^\circ 31' 33.2''$ の折れ線トラス橋についてFig.-9に示した4の支持形式について変化をみる。顕著な変化は,

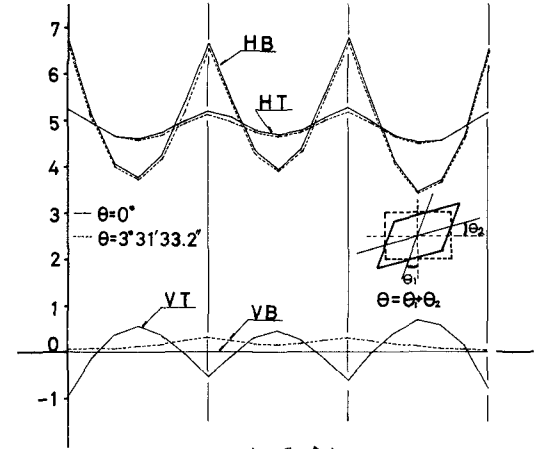


FIG. 8 ずれ角分布

$M_z, Q_r, M_w$  の分布にあらわれる。荷重  $VT$  のもとにおける  $M_z, M_w$  の変化を  $fig. -9$  に示す。SUP. 2, 3 では左端支桌で  $O$  となり下橋構面のそり変位拘束の影響が中周支桌に移動する。拘束による  $M_z$  の変化は SUP. 1. の時の約  $1/3$  程度となる。SUP. 4 ではとり拘束はない。右至間ではいずれの支持条件の時もあまり変化がない。 $M_w$  の変化はほぼ左至間の  $H$  に限られる。SUP. 2, 3 の場合左支桌における値は  $O$  となるが、支間中央では値が増加する。そり拘束をおこなっている左中周支桌で  $M_w$  の不連続が生ずるが、SUP. 1. の場合の拘束モーメントより小さくなる。

$VT$  のもとでの各支桌の各方向反力の値を表-1. に示す。 $X, Y$  方向は支桌における拘束方向に応じて設定した座標軸方向と一致している。 $X$  軸はほぼ橋軸方向となり、 $Y$  軸は橋軸直角方向となる。表の空欄は変位拘束をおこなわなかった部分である。 $X$  方向反力によるモーメントは、SUP. 2, 3 で SUP. 1. の約  $1/3$  程度となっている。これは  $fig. -9$  に示される拘束モーメントに対応している。SUP. 1. の場合、他の支持条件に比して、左端支桌に鉛直方向反力が集中する傾向がみられる。

SUP. 2 と放射方向に可動にした SUP. 3 との間には差異がほとんどみられなかった。そり拘束を解除した SUP. 4 でも鉛直方向反力の分布はほとんど差異がない。

5. あとがき

非常に限定した荷重のもとで折れ線連続トラス橋の全体的な挙動を直線橋と比較して示した。部材力に関しては薄肉梁理論との対応を考慮してまよひてみたが、本来トラス構造は骨組であるので、最終的には各個の部材に關した検討が必要となる。二には示したかったが、各個の部材力の影響線は、立体構造解析と平面構造解析とは著しく異なるので設計荷重を作用させる場合十分注意する必要がある。上下橋構が、本橋の中周支桌支桌付近のように軸方向力に抵抗するようになる形式であると、鉛直曲が荷重によっても橋構部材に相等量の力が導入されることのみみとられた。支持方式の違いによっても相等断面力に変化があるので注意しなくてはならない。

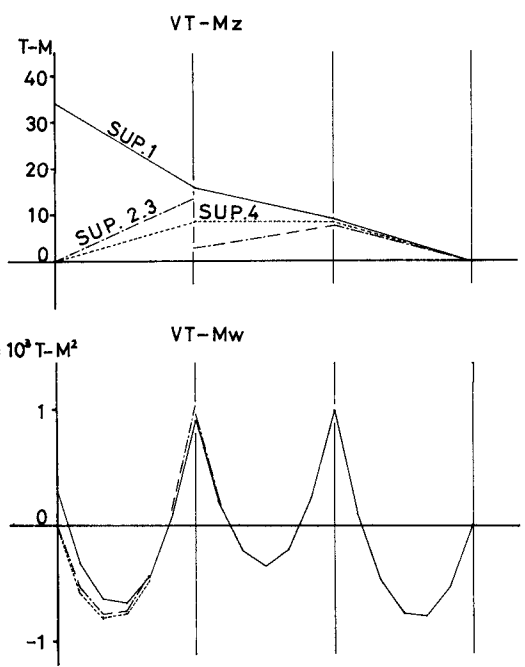


FIG. 9 相等断面力

表-1. VT における反力

SUP. NO.		1	2	3	4	5	6	7	8
TYPE	X	1.45	-1.48						
	Y	0.22		-0.13		0.04		-0.12	
SUP. 1	Z	-2.11	2.15	-5.38	5.35	-5.54	5.50	-1.94	1.98
	X			-0.45	0.46				
SUP. 2	Y	-0.17		0.11		0.16		-0.10	
	Z	-1.93	1.97	-5.53	5.49	-5.57	5.53	-1.95	1.99
SUP. 3	X			-0.45	0.46				
	Y	-0.17		0.11		0.16		-0.10	
SUP. 4	Z	-1.93	1.97	-5.53	5.49	-5.57	5.53	-1.95	1.99
	X			0.					
SUP. 4	Y	-0.11		0.11		0.11		-0.11	
	Z	-1.95	1.99	-5.54	5.50	-5.54	5.50	-1.95	1.99

(T)